

## Trichodoridae parasitos de plantas: principais características

---

- Ectoparasitos migradores
- Forma do odontoestilete





150 µm

50 µm

*Paratrichodorus minor*: entire female



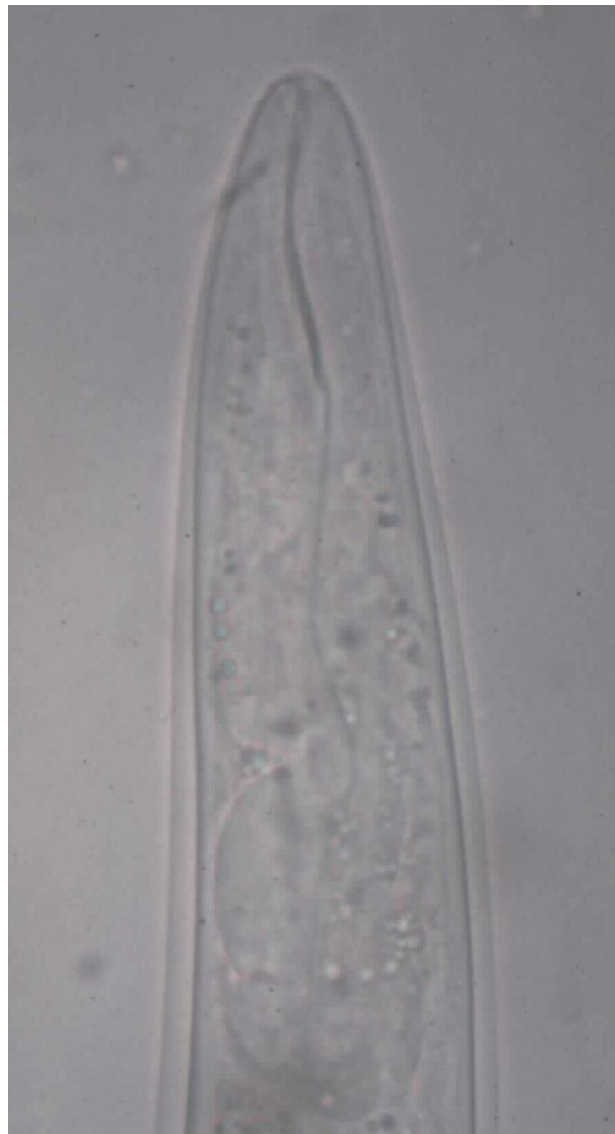
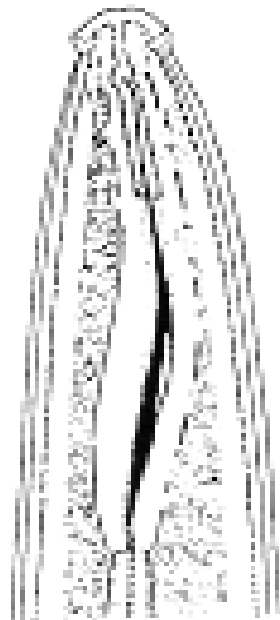
UCR vCinema (c) 2001



# ODONTOESTILETE

## Trichodoridae

O onquioestilete é curto, curvo e sólido, não canalulado, sendo pois usado apenas para perfurar as paredes celulares vegetais



## Importância da família Trichodoridae

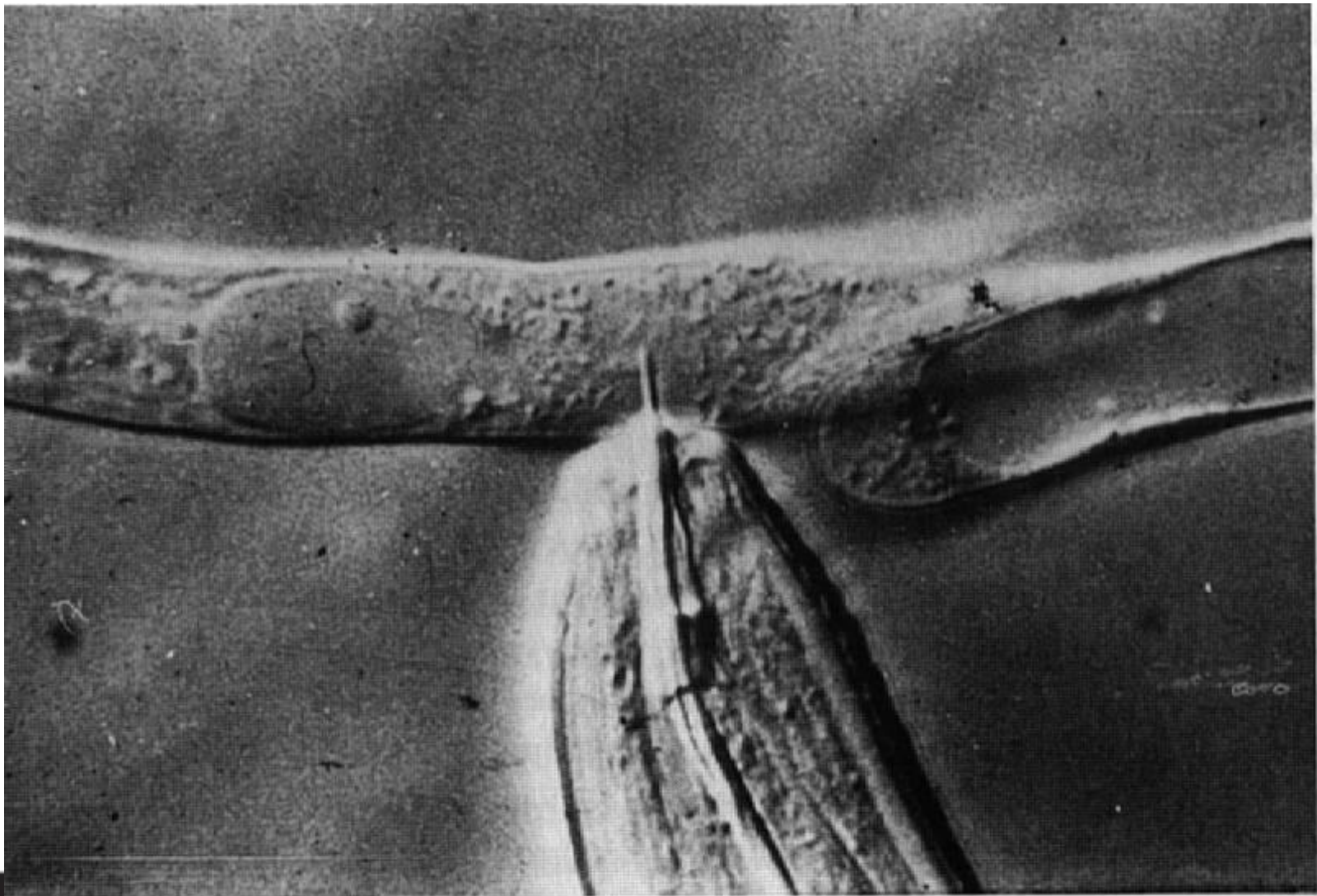
---

- Danos diretos
  - ex.: trigo e milho
- Transmissão de viroses (Tobravirose)
  - Ex.: batata



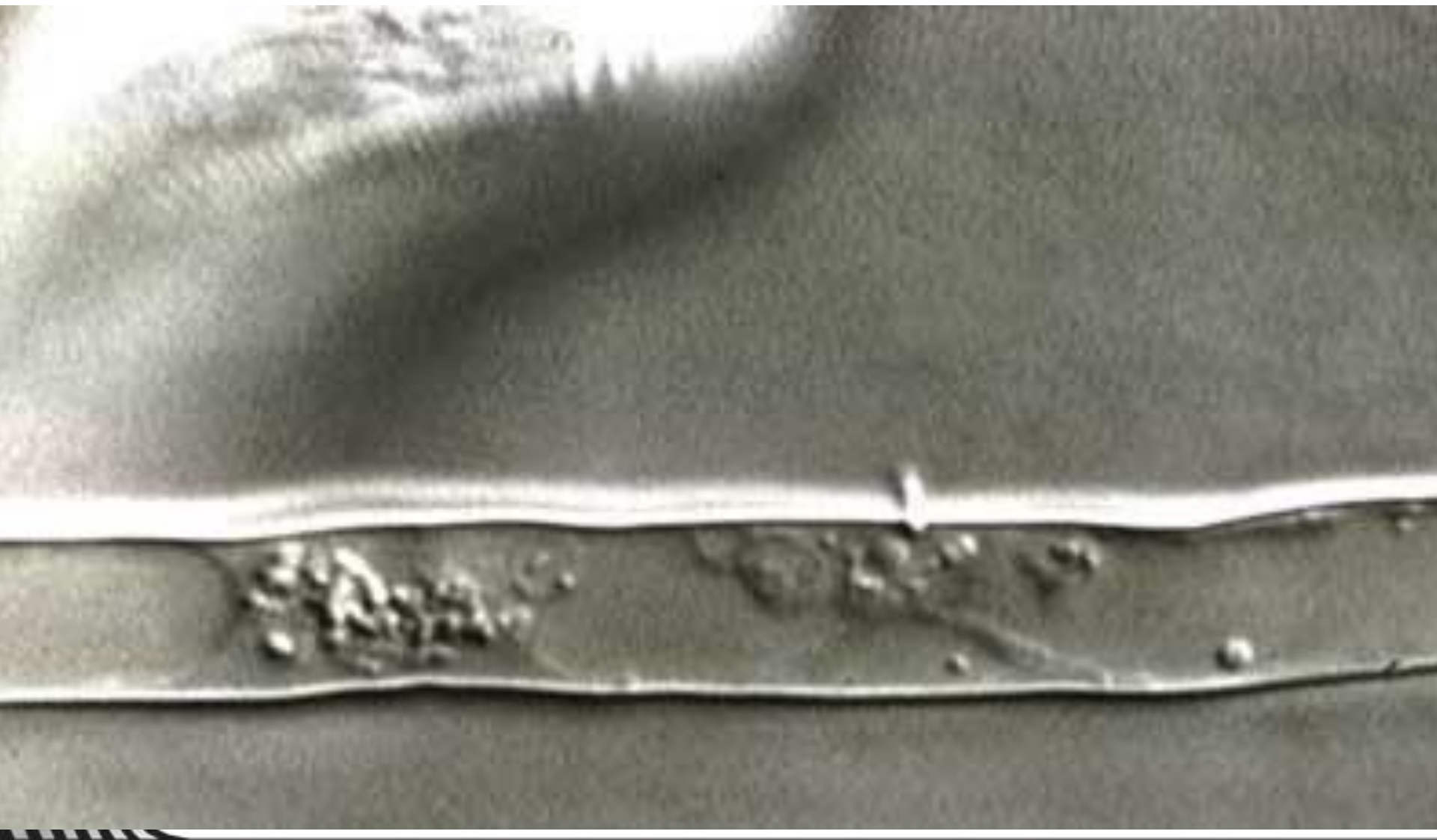
## *Trichodorus similis*

---



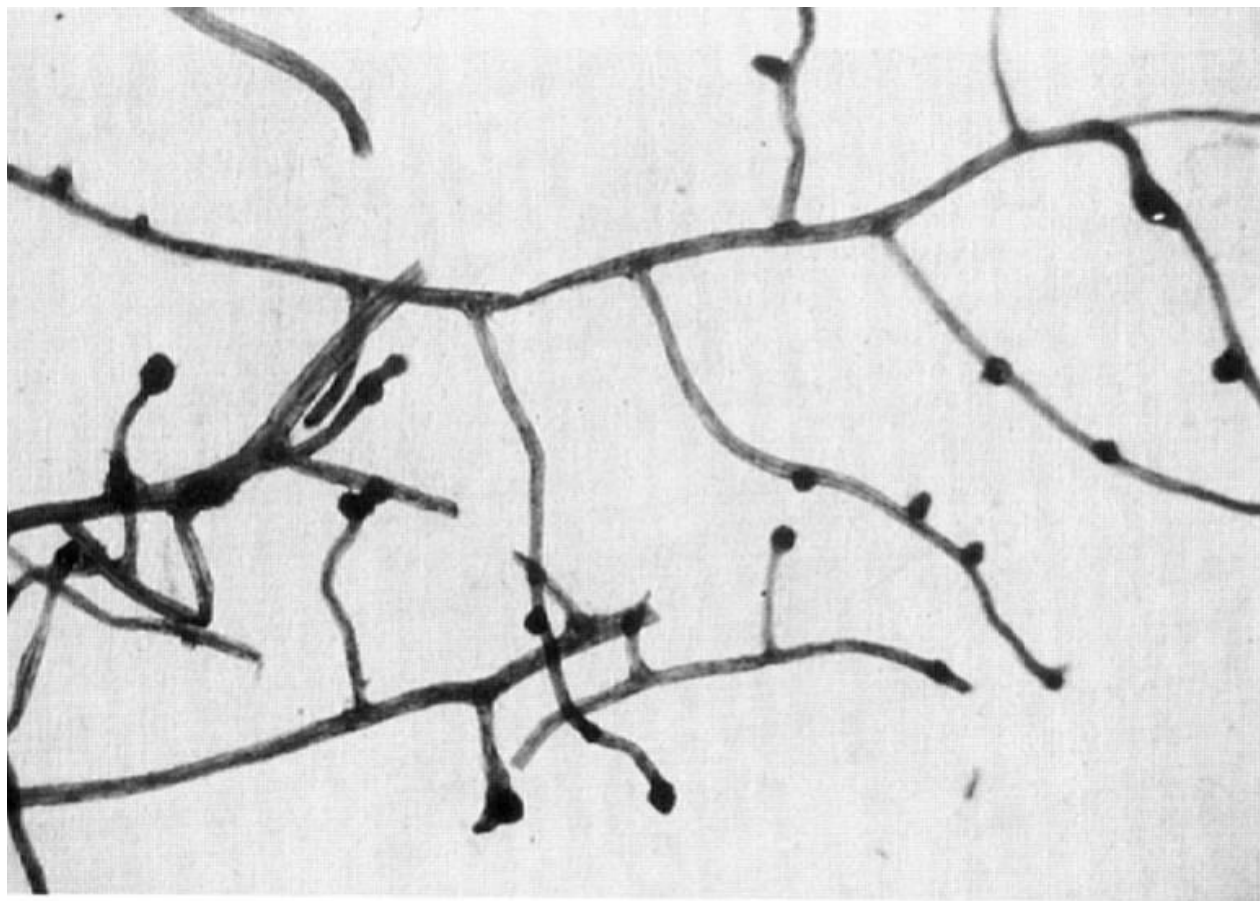
# Tubo de alimentação

---



## Sintomas causados por *Paratrichodorus* spp. em raízes de trigo.

---



## Raízes de milho parasitadas com *Paratrichodorus minor*

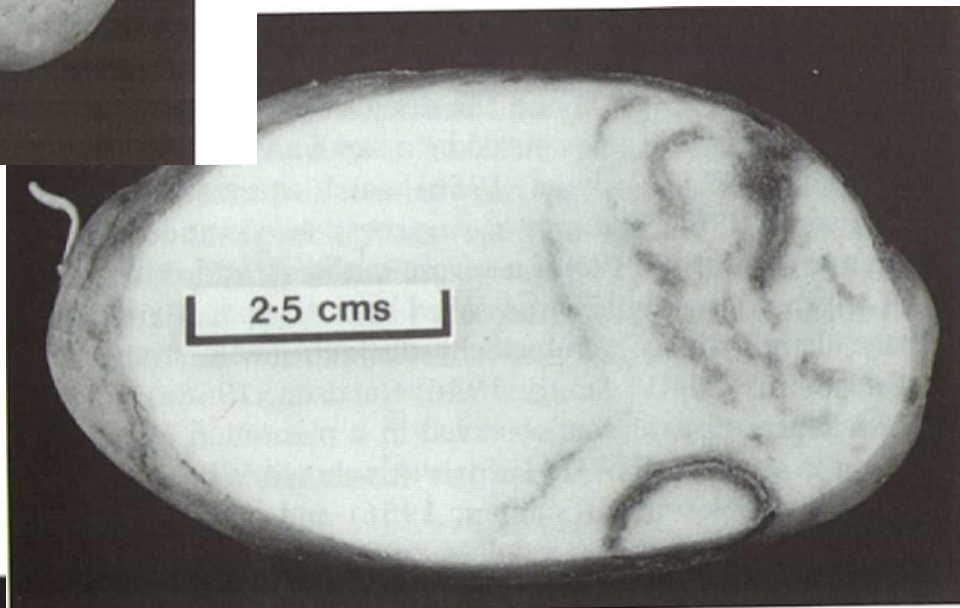
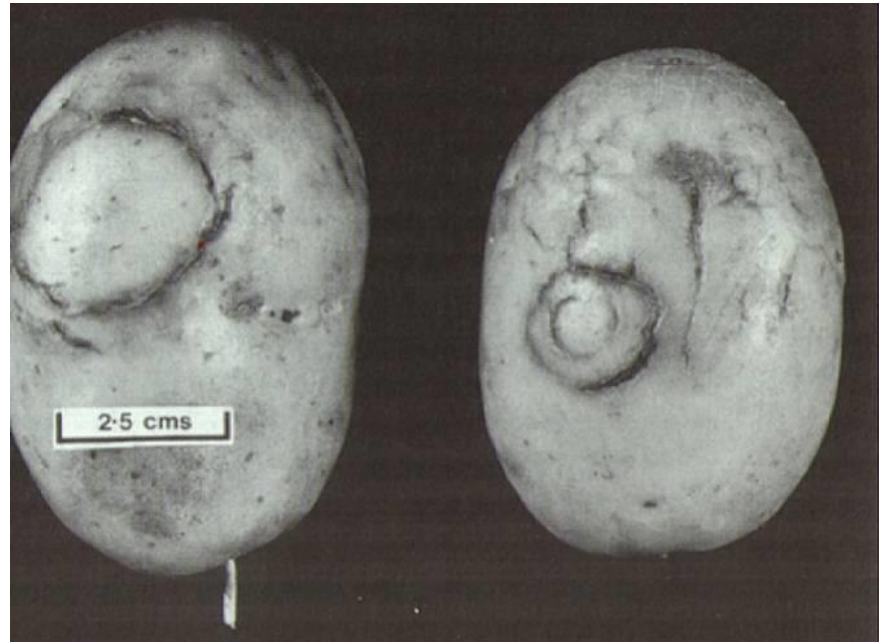
---



<b>VETOR</b>	<b>VÍRUS (Tobravírus)</b>
<i>Paratrichodorus hyspanus</i>	tobacco rattle (TRV)
<i>Trichodorus tunisiensis</i>	tobacco rattle (TRV)
<i>Paratrichodorus allius</i>	tobacco rattle (TRV)
<i>P. anemones</i>	tobacco rattle (TRV)
	pea early-browning (PEBV)
<b><i>P. minor</i></b>	pepper ringspot (PRV)
	tobacco rattle (TRV)
<i>P. nanus</i>	tobacco rattle (TRV)
<i>P. pachydermus</i>	pea early-browning (PEBV)
<b><i>P. porosus</i></b>	tobacco rattle (TRV)
<b><i>P. teres</i></b>	pea early-browning (PEBV)
<i>Trichodorus cylindricus</i>	
	tobacco rattle (TRV)
<i>T. primitivus</i>	pea early-browning (PEBV)
	tobacco rattle (TRV)
<i>T. similis</i>	pea early-browning (PEBV)
	tobacco rattle (TRV)
<i>T. viruliferus</i>	tobacco rattle (TRV)
	pea early-browning (PEBV)

Batatas exibindo anéis necróticos causados por tobacco ratle virus transmitidos por Trichodoridae.

---



# Tuberculos de batata exibindo anéis necróticos causados por *Tobacco rattle virus* transmitidos por Trichodoridae

---



Hafez & Sundararaj (2009)



Hafez & Sundararaj (2009)



Hafez & Sundararaj (2009)



Kirk (2008)

# Folhas de batata com sintomas causados por *Tobacco rattle virus* transmitidos por Trichodoridae

---



Anéis amarelos

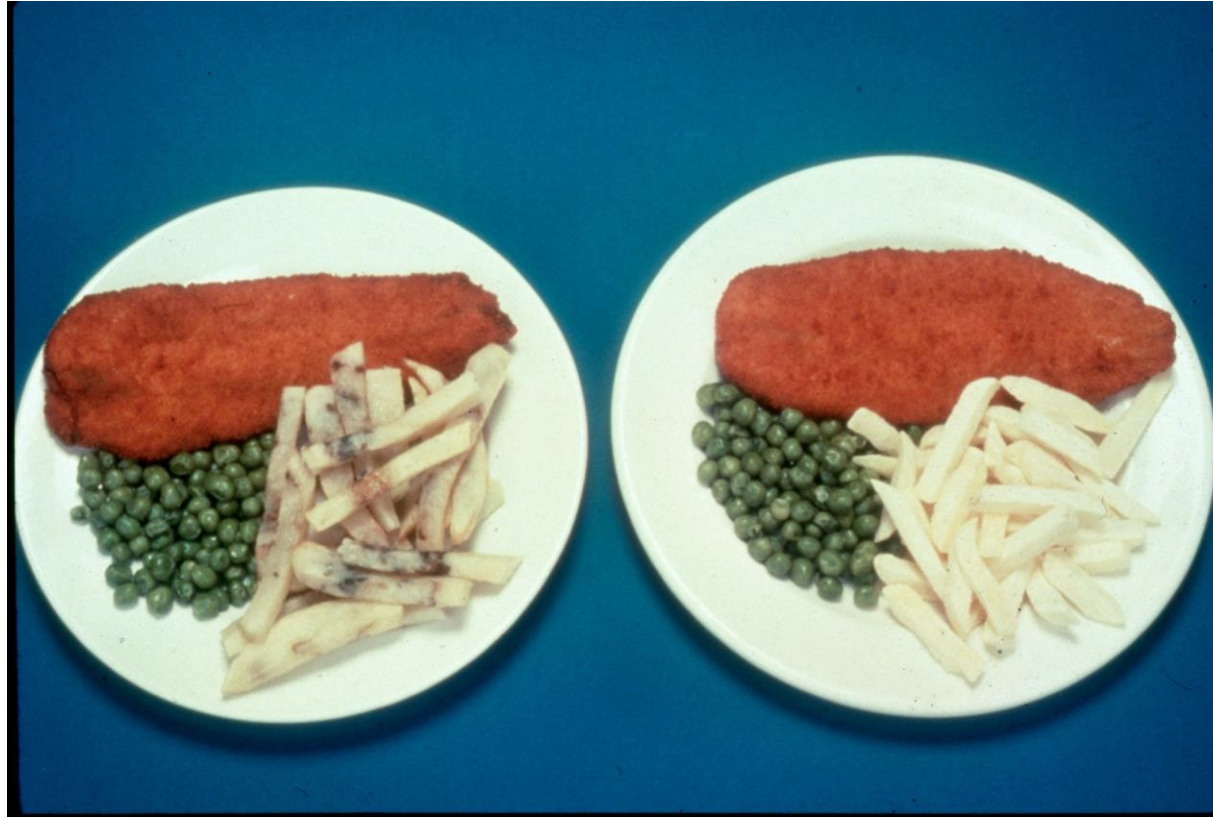


Folhas retorcidas e necrose



O prato tradicional da cozinha britânica (*fish and chips*), preparado com batatas infectadas com tobacco rattle virus (TRV).

---



# Diagnose das viroses transmitidas por nematoides

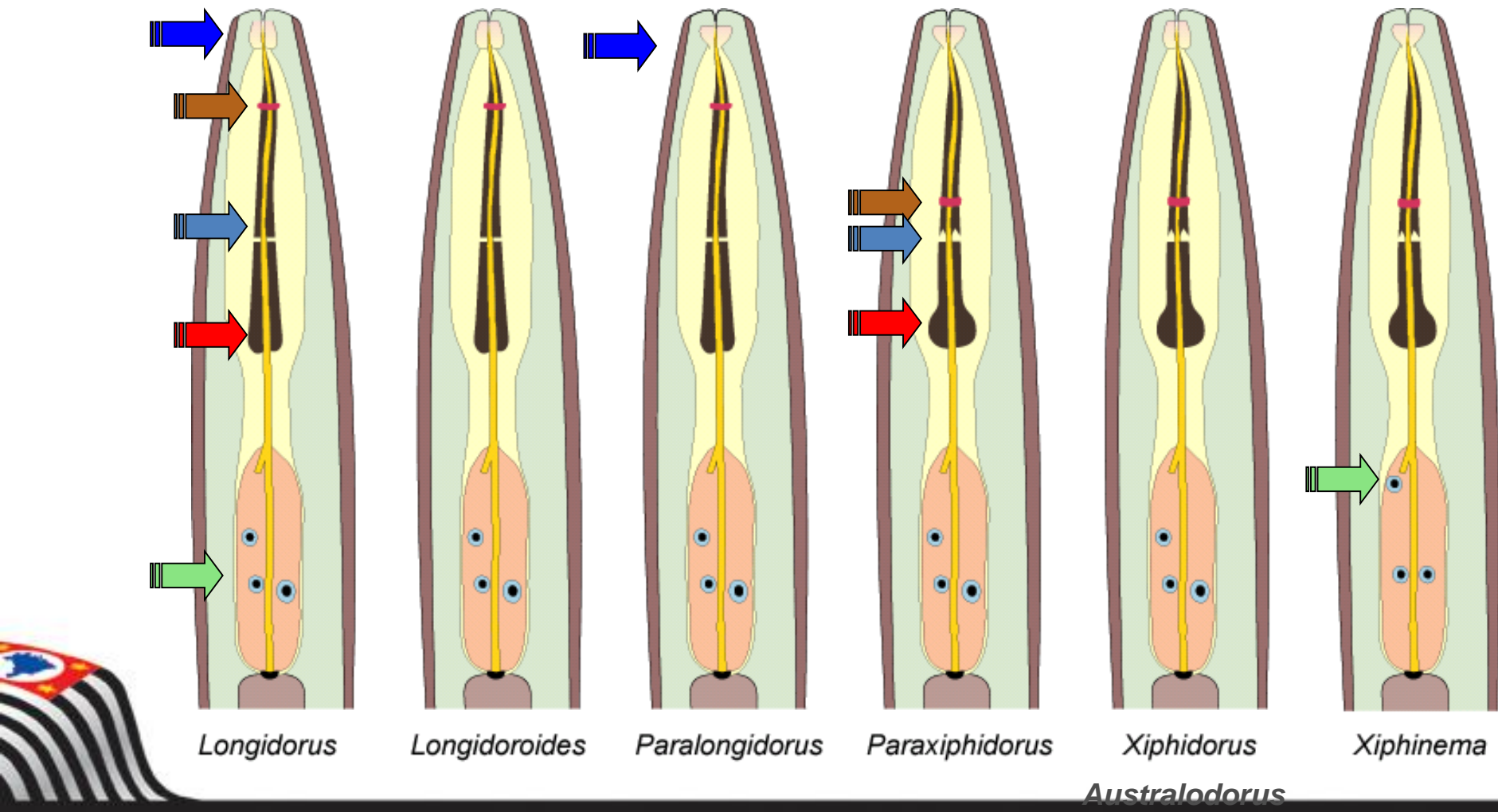
---

- Identificação do vírus
  - Sintomatologia
  - Plantas indicadoras
  - Teste ELISA
  - Primers específicos
- Identificação do nematoide vetor
  - Morfologia e morfometria
  - Primers específicos



## Caracteres usados para diferenciar os gêneros da família Longidoridae

---

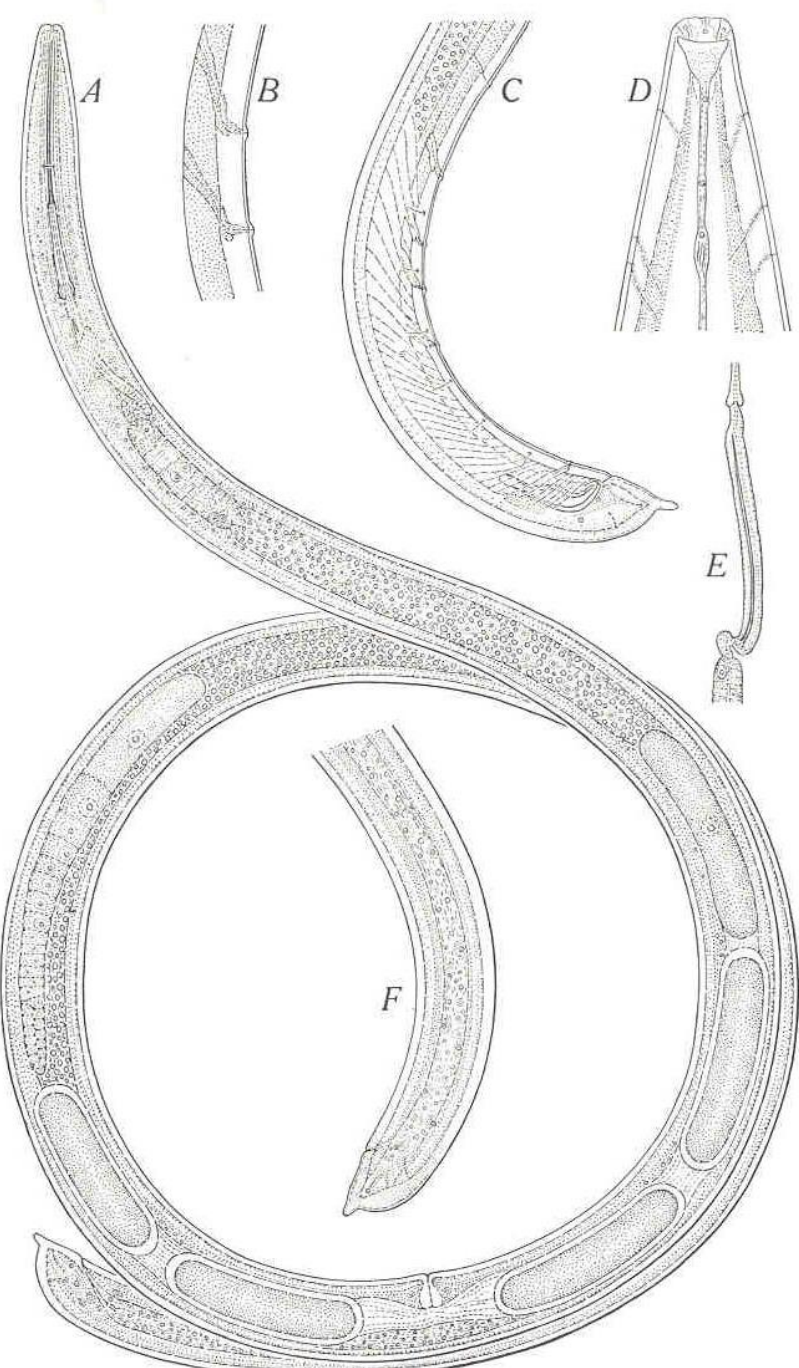


## Identificação de espécies de *Xiphinema*

Morfologia

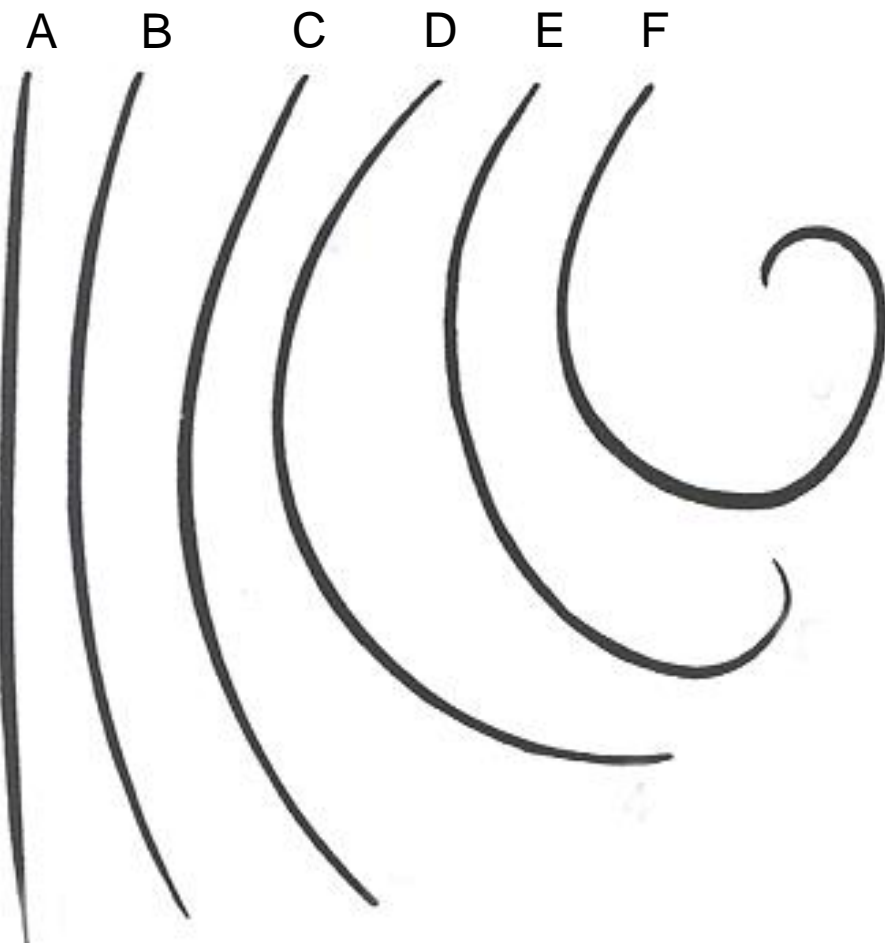
+

Morfometria  
das fêmeas



## Hábito: forma do corpo

---



A: retilíneo

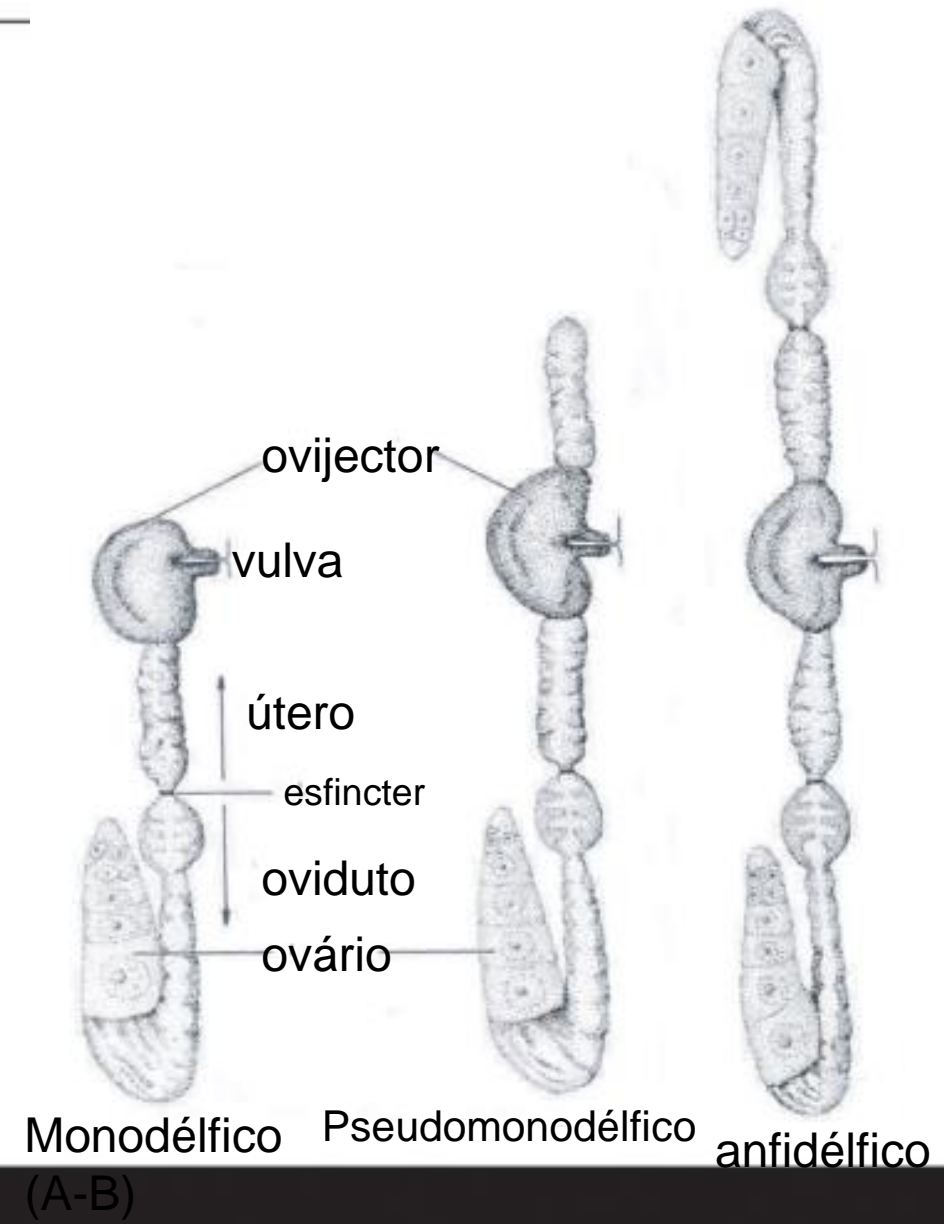
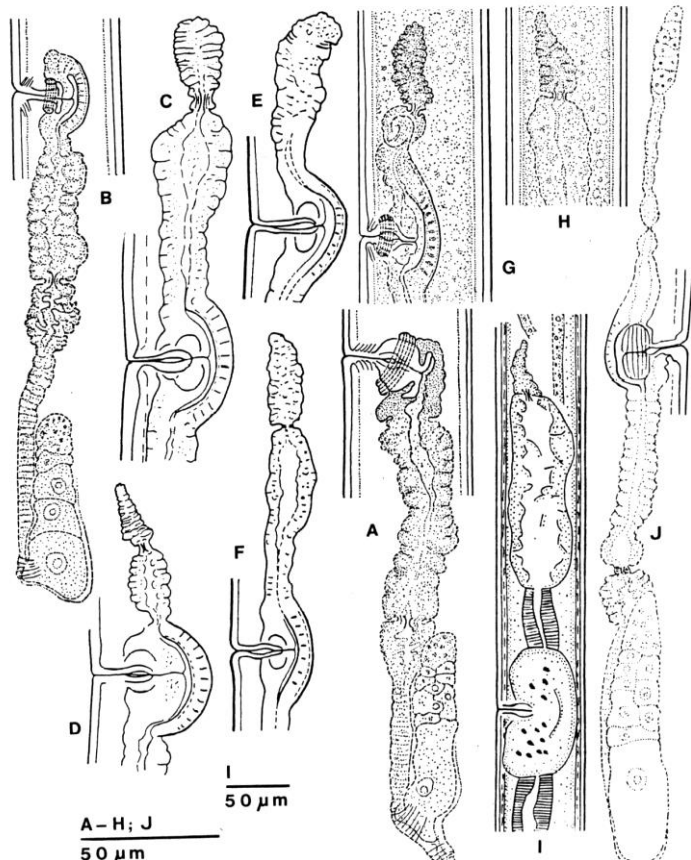
B: ligeiramente retilíneo

B-D: ligeiramente  
recurvado

E: recurvado, assumindo  
o formato de um C ou J  
ou gancho

F: espiralado

# Organização do aparelho reprodutor feminino



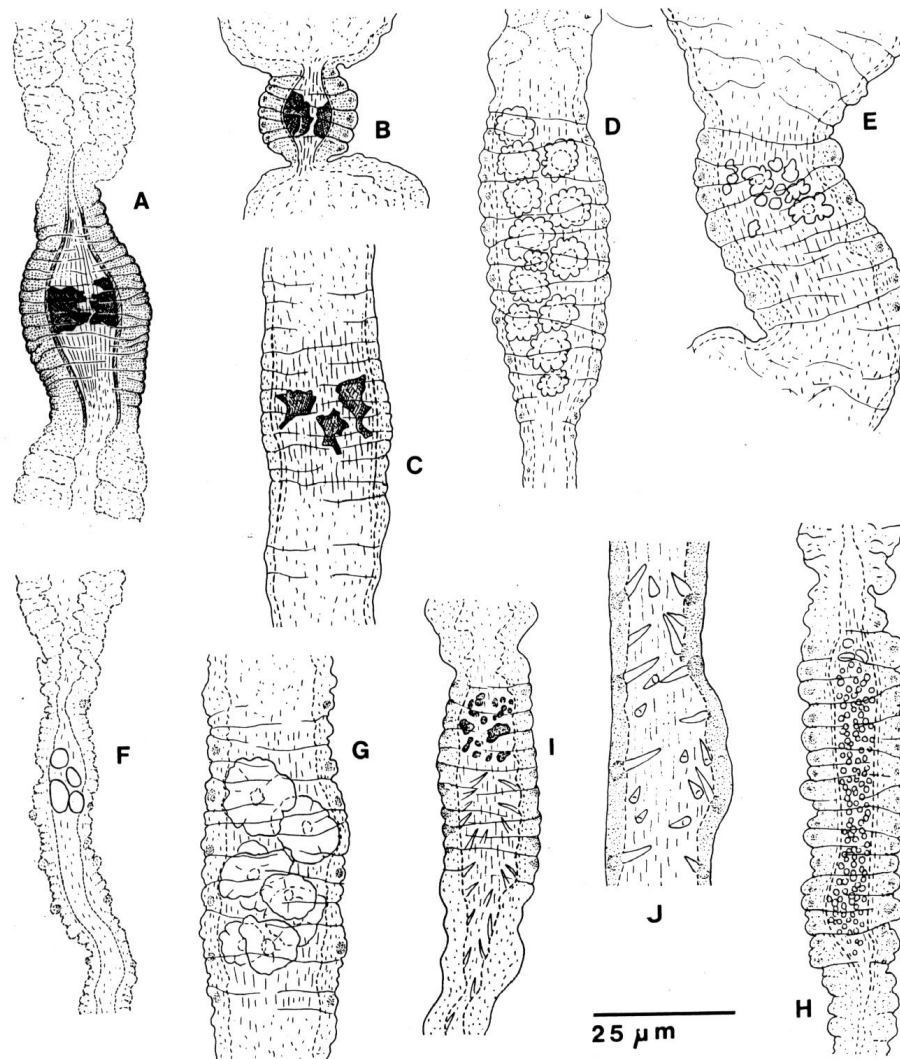
# Tipos de diferenciação uterina

A e B: Órgão Z

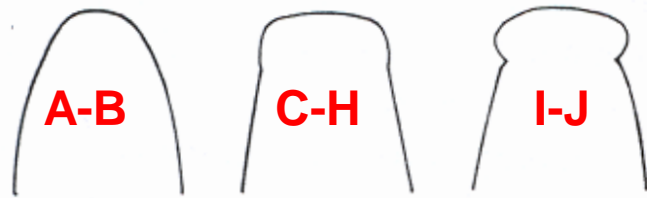
C-H: Pseudo-órgão Z

I: Pseudo-órgão Z +  
Espinhos uterinos

J: Espinhos uterinos



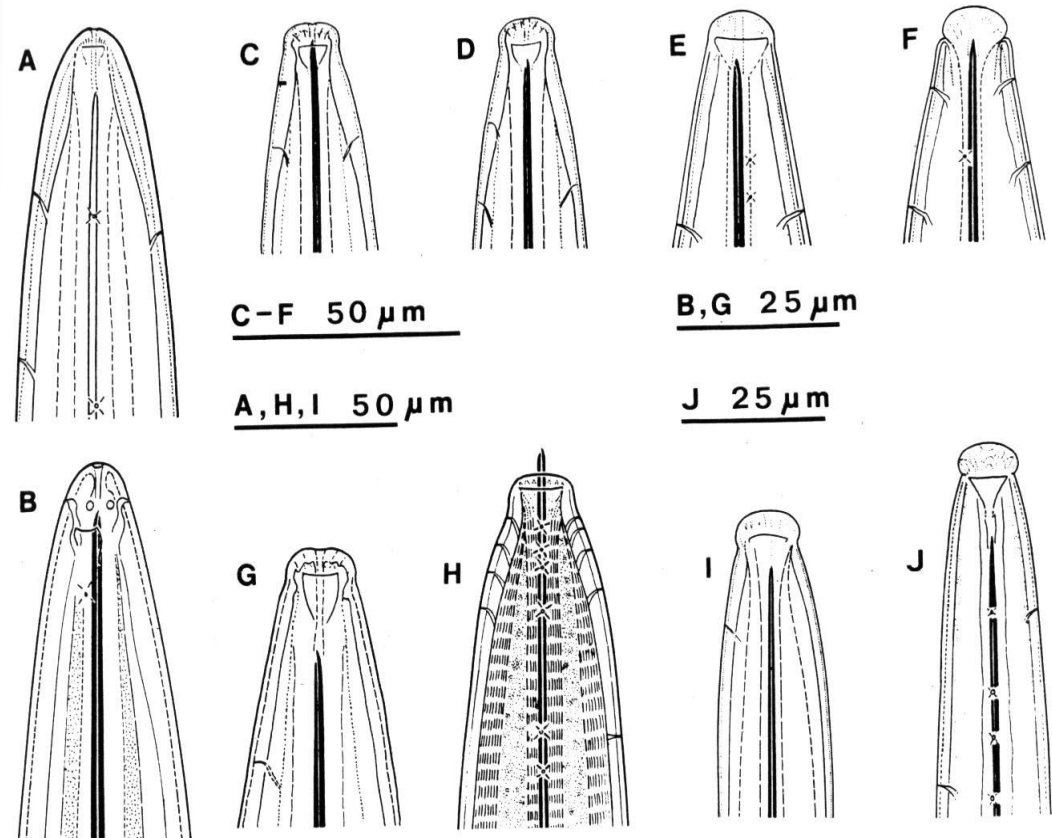
# Região labial



A-B: Sem  
constrição,  
contínua com o  
resto do corpo

C-H: Separada por  
fraca constrição

I-J: Separada por  
evidente constrição



A: *X. hygrophylum*; B: *X. stenocephalum*; C-D: *X. elongatum*; E-F: *X. coxi europaeum*; G: *X. insigne*; H: *X. ingens*; I: *X. conurum*; J: *X. pachydermum* (Loof and Luc, 1990)

# Forma da cauda

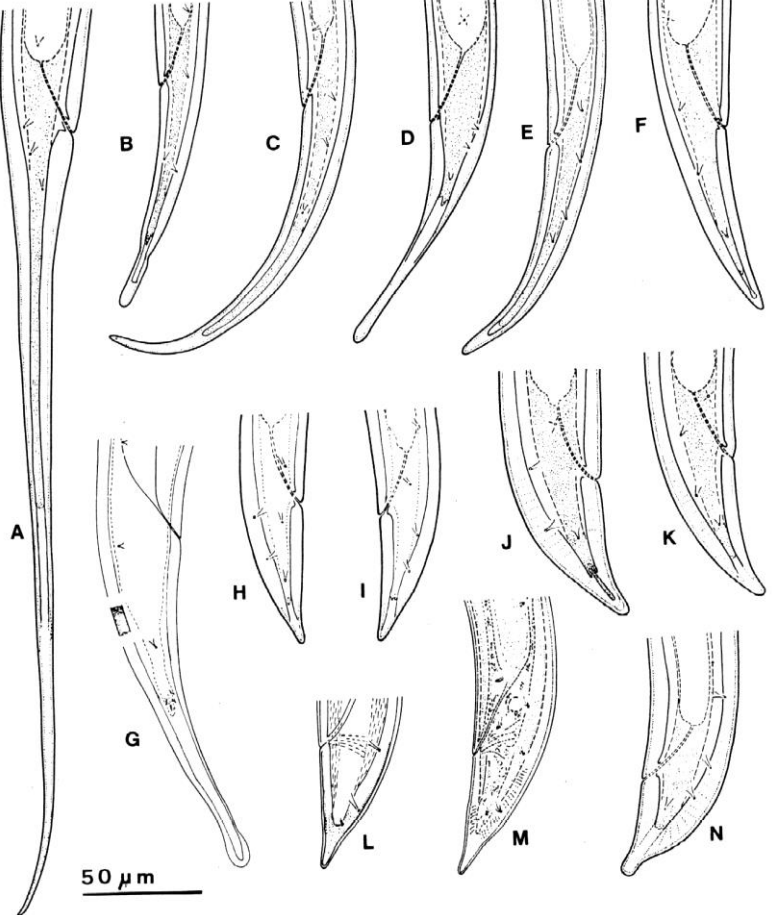


Fig 1

A: longa ( $C' > 7,5$ ), atenuada ou filiforme

B-G: longa ( $2,5 < C' < 7,5$ ), cônica ou clavada

H-K: curta ( $C' \pm 2,5$ ), cônica ou levemente subdigitada

N (L-M): curta, cônica e digitada

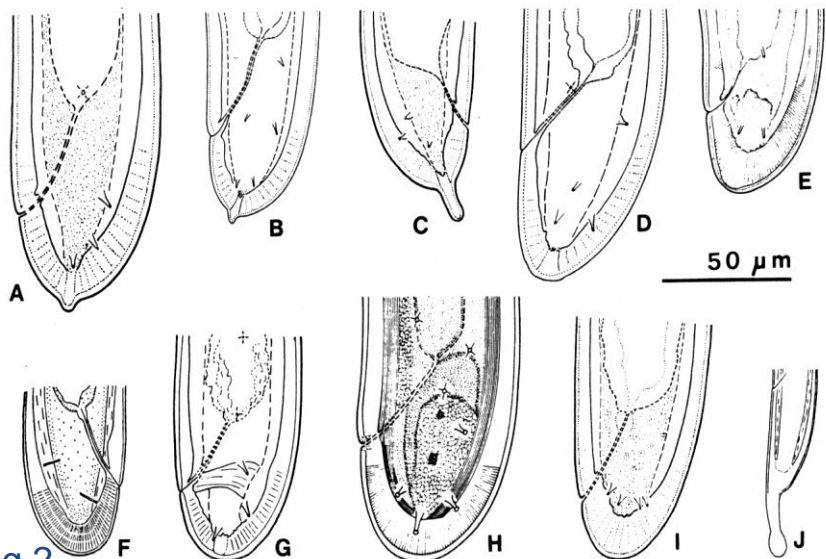


Fig 2

A-C: cônica-hemisférica com término na forma de dedo ou mamilo (mucro)

D-F: cônica-arredondada

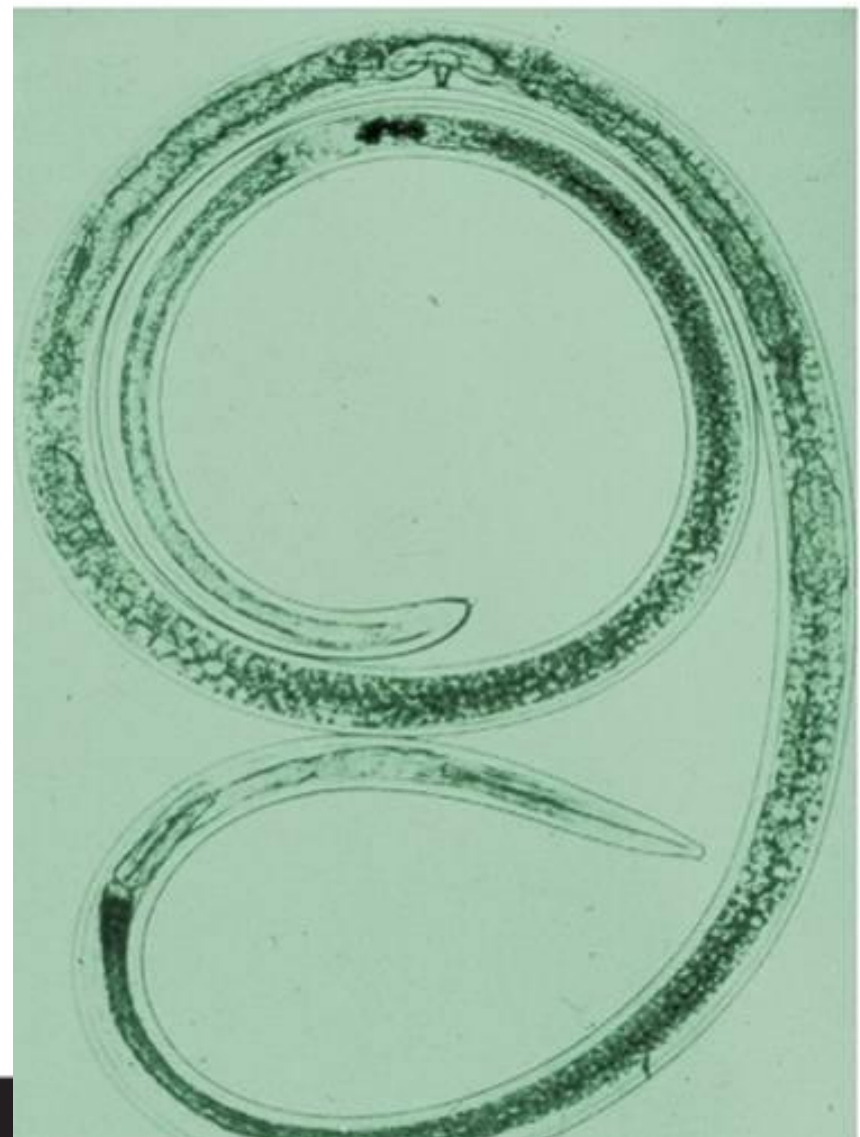
G-I: hemisférica

J: arredondada com longo término na forma de mucro

# Morfometria

---

- Comprimento do corpo (L)
- odontostíleo
- odontóforo
- estilete
- Comprimento da cauda (TL)
- diâmetro do corpo ao nível do anus (abw)
- diâmetro maior do corpo (bw)
- V% (posição da vulva)
- a (L/bw)
- c (L/TL)
- c' (TL/abw)



# grupo *Xiphinema americanum*

- Pequena variação morfológica/morfométrica: mesmo código na chave politômica
- Controvérsias!!!!!!
- Atualmente: 50 espécies
- Brasil: 8 espécies:
  - *X. brevicolle*, *X. californicum*, *X. georgianum*, *X. pachtaicum*,
  - *X. diffusum*, *X. oxycaudatum* e *X. peruvianum*
  - *X. luci*



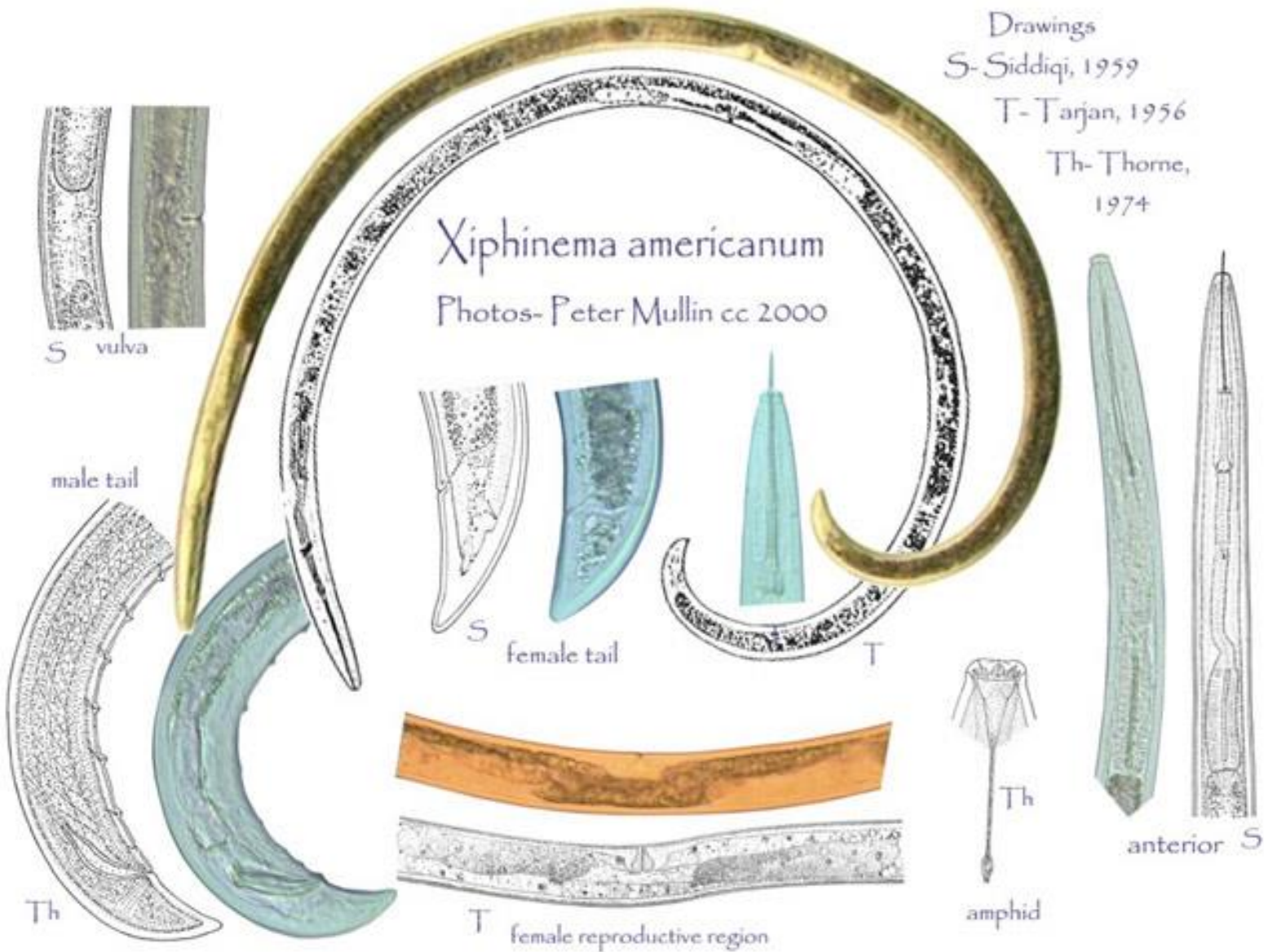
# Características do grupo *Xiphinema americanum*

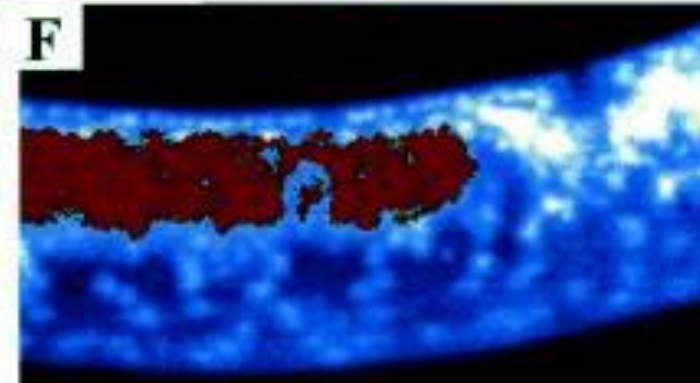
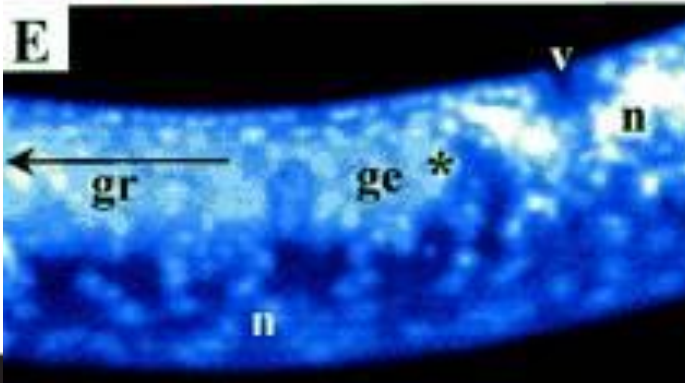
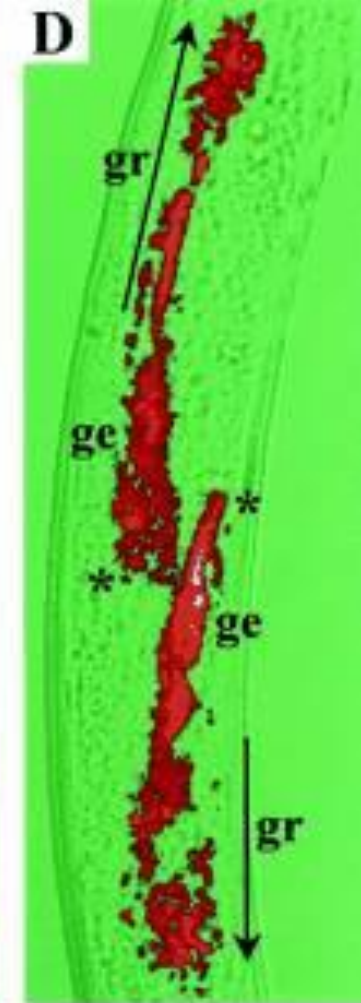
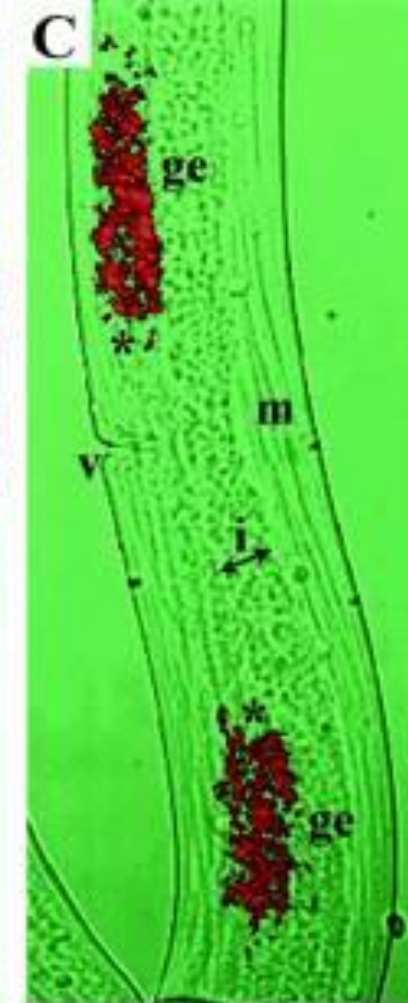
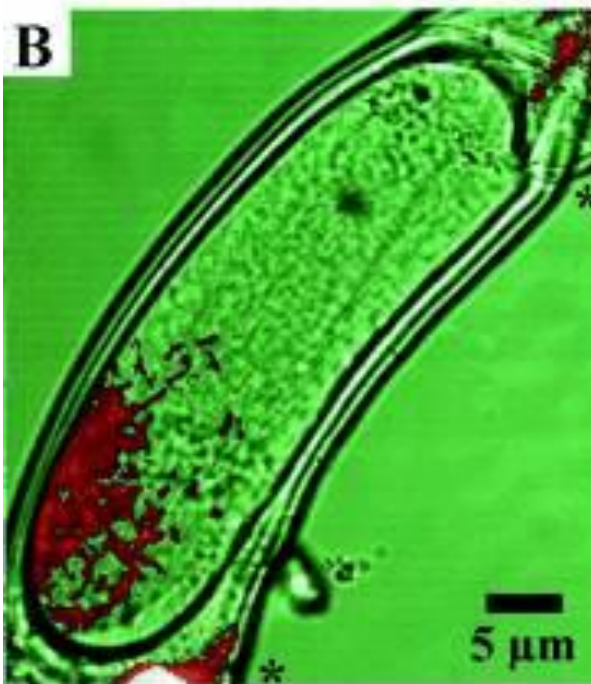
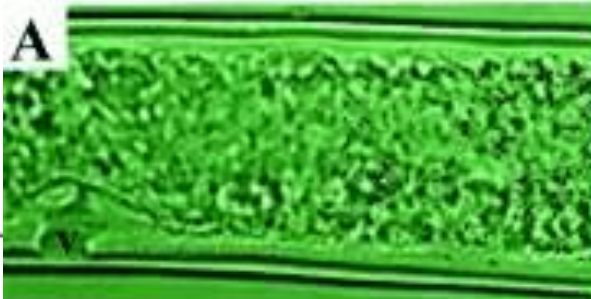
---

- L < 2,3 mm
- Espiralado ou forma de C
- Estilete < 150 um
- Fêmeas anfidélficas
- V > 50%
- Útero curto, sem diferenciação
- Presença de bactérias endossimbiontes no ovário
- Cauda curta: conóide-arredondada a levemente digitada
- Machos raros: reprodução por partenogênese



Drawings  
S-Siddiqi, 1959  
T-Tarjan, 1956  
Th-Thorne,  
1974





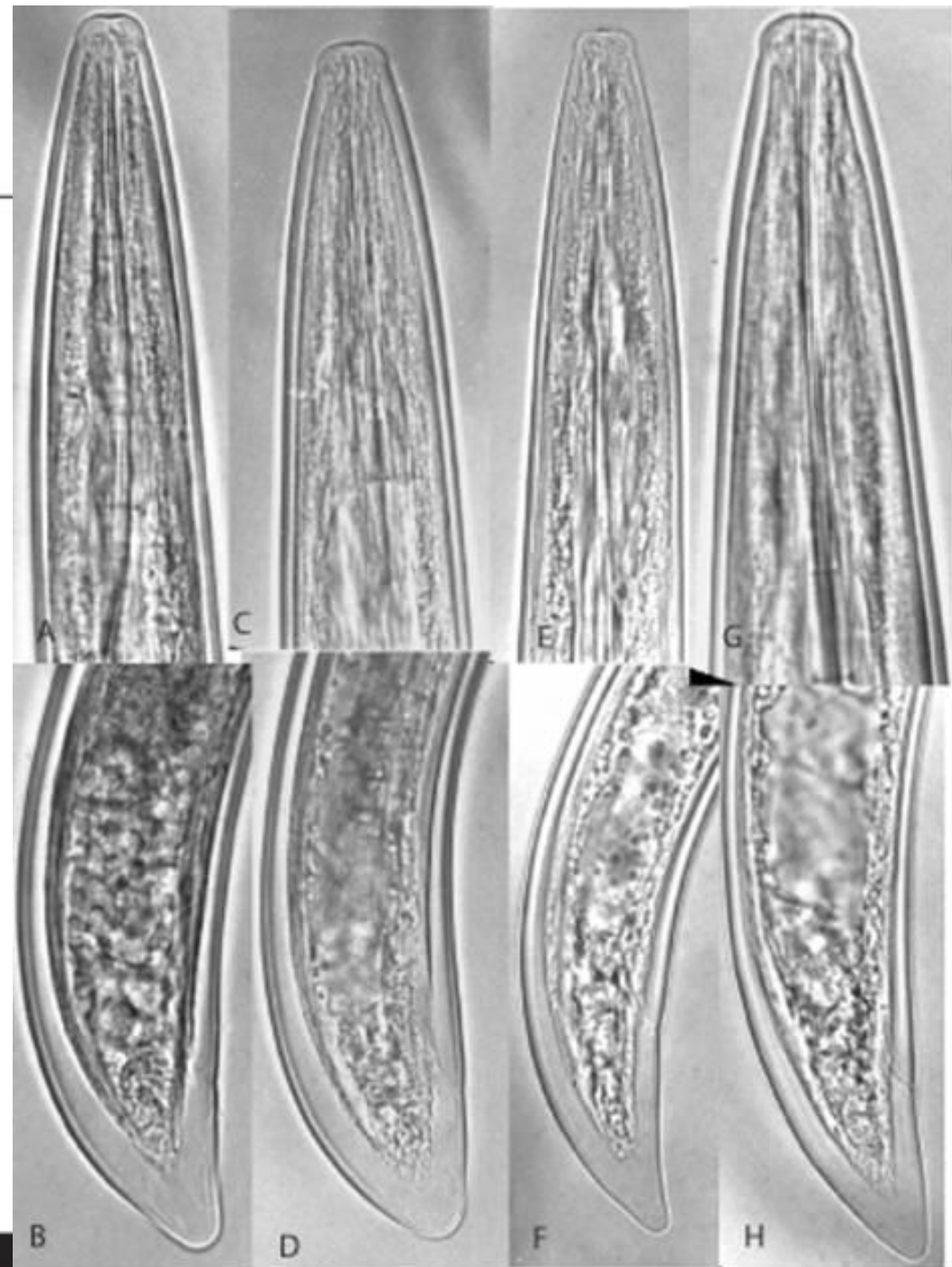
## Região anterior e posterior de fêmeas do grupo *X. americanum*

A-B, *X. brevicolle*;

C-D, *X. diffusum*;

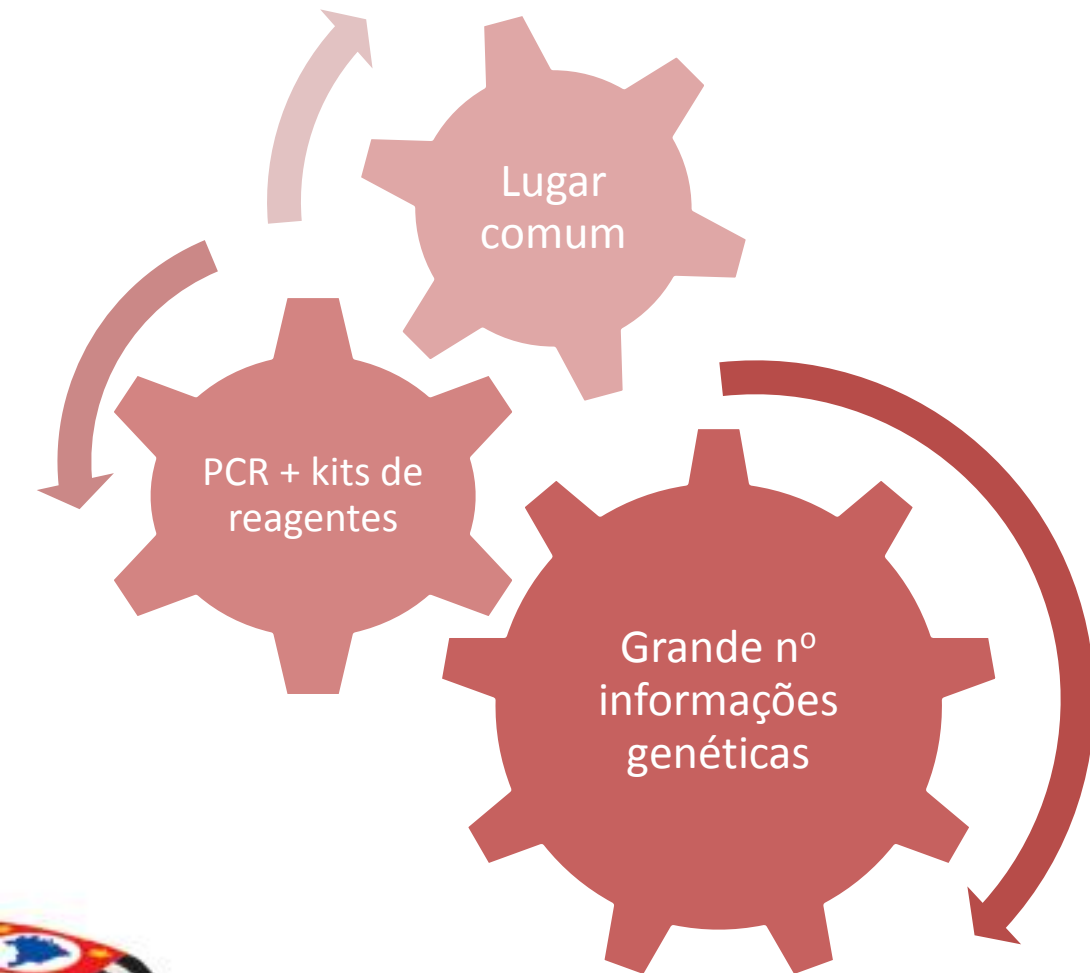
E-F, *X. oxycaudatum*;

G-H, *X. peruvianum*



# Técnicas moleculares

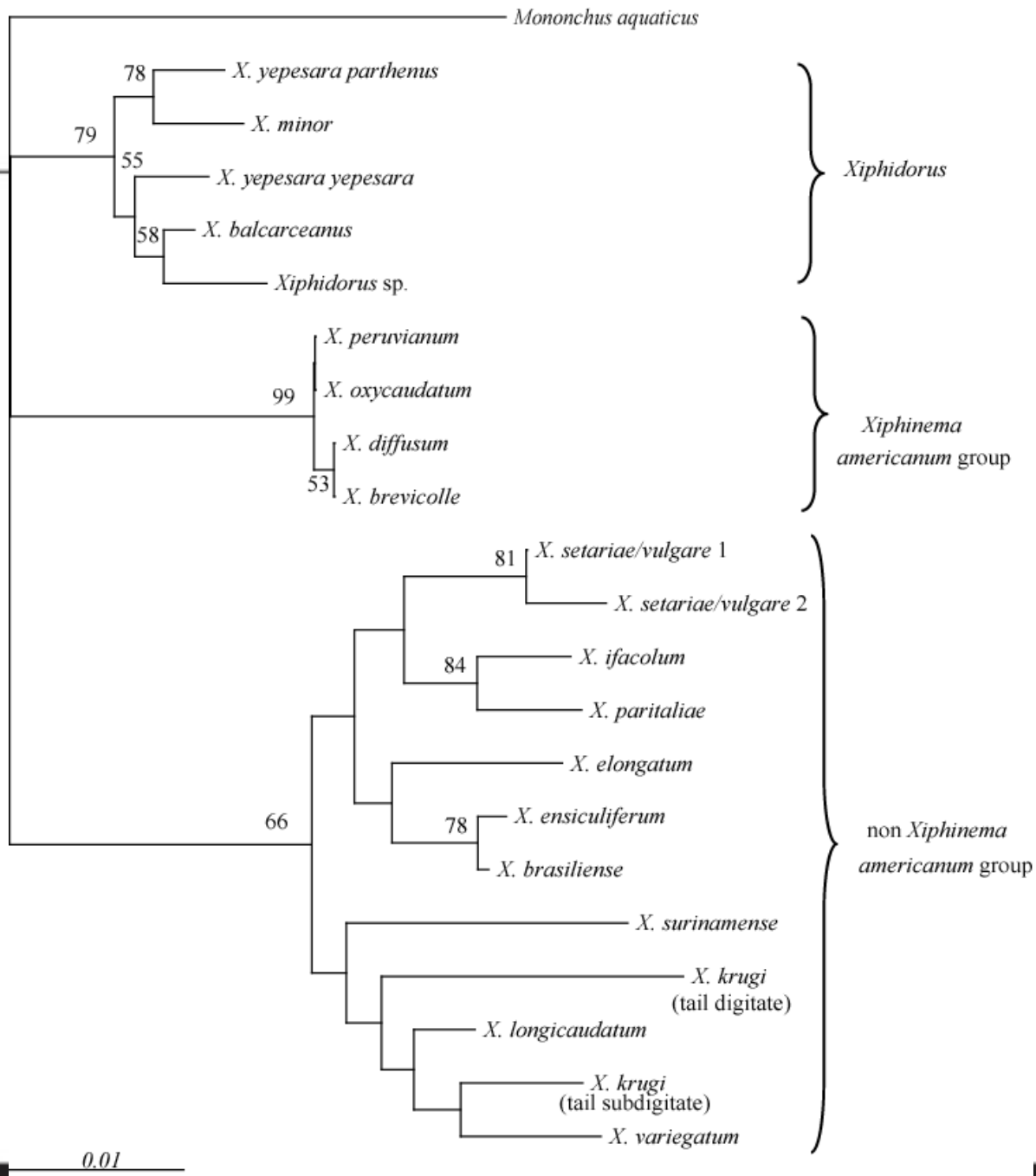
---



GenBank: [www.ncbi.nlm.nih.gov](http://www.ncbi.nlm.nih.gov)

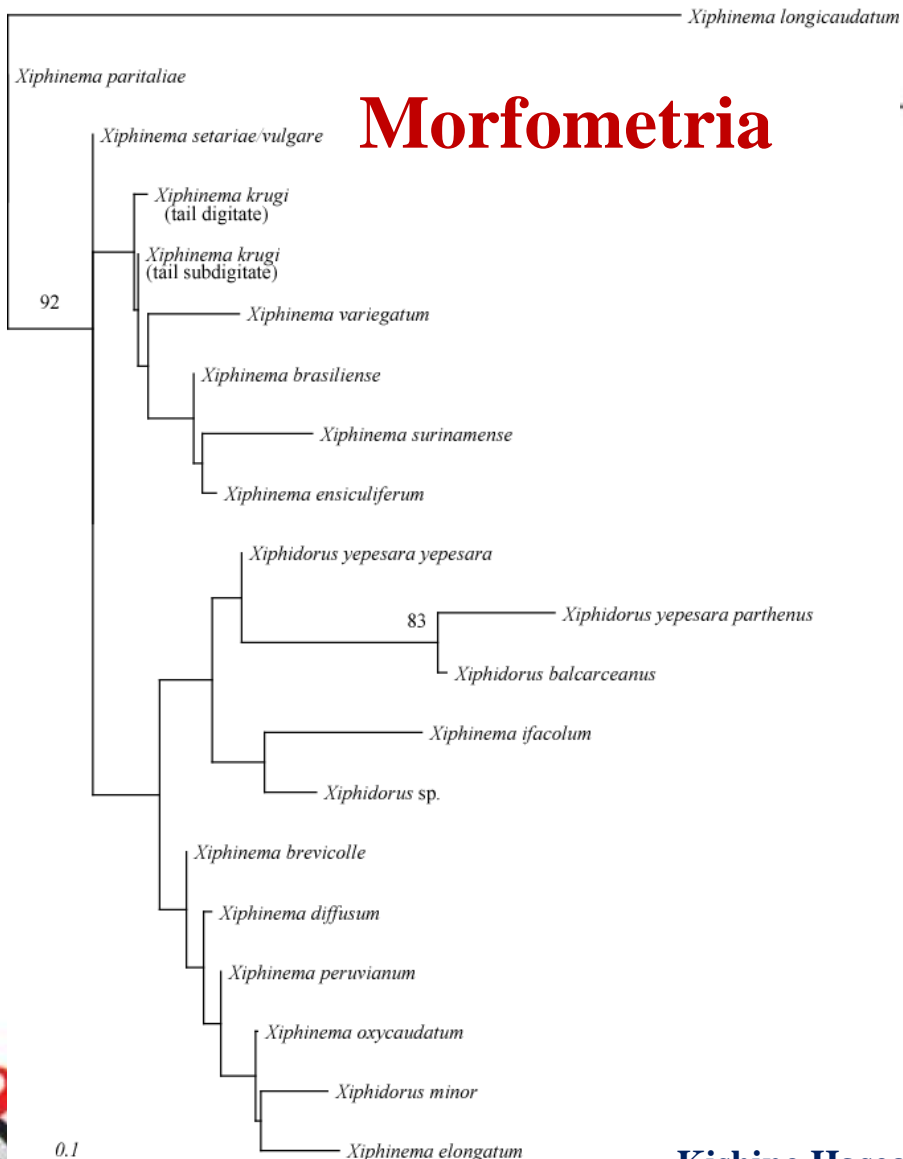


Árvore filogenética  
 mostrando as relações  
 entre as espécies de  
*Xiphinema* e *Xiphidorus*  
 baseando-se nas  
 seqüências da região 18S  
 rDNA



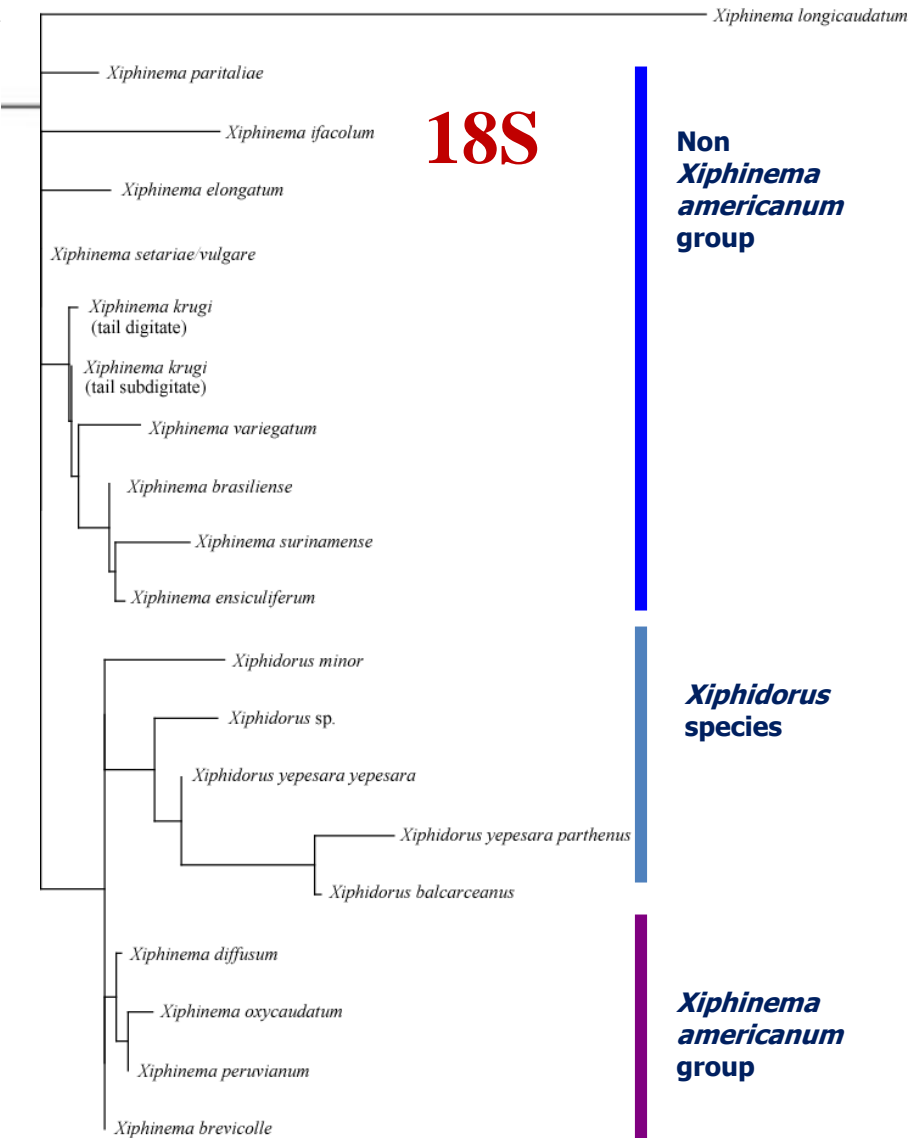
- 
- Árvore filogenética
    - Maximum Likelihood trees → programa PHYLIP CONML
  - Teste Kishino Hasegawa (KH)
    - Comparação das árvores 18S rDNA e morfometria



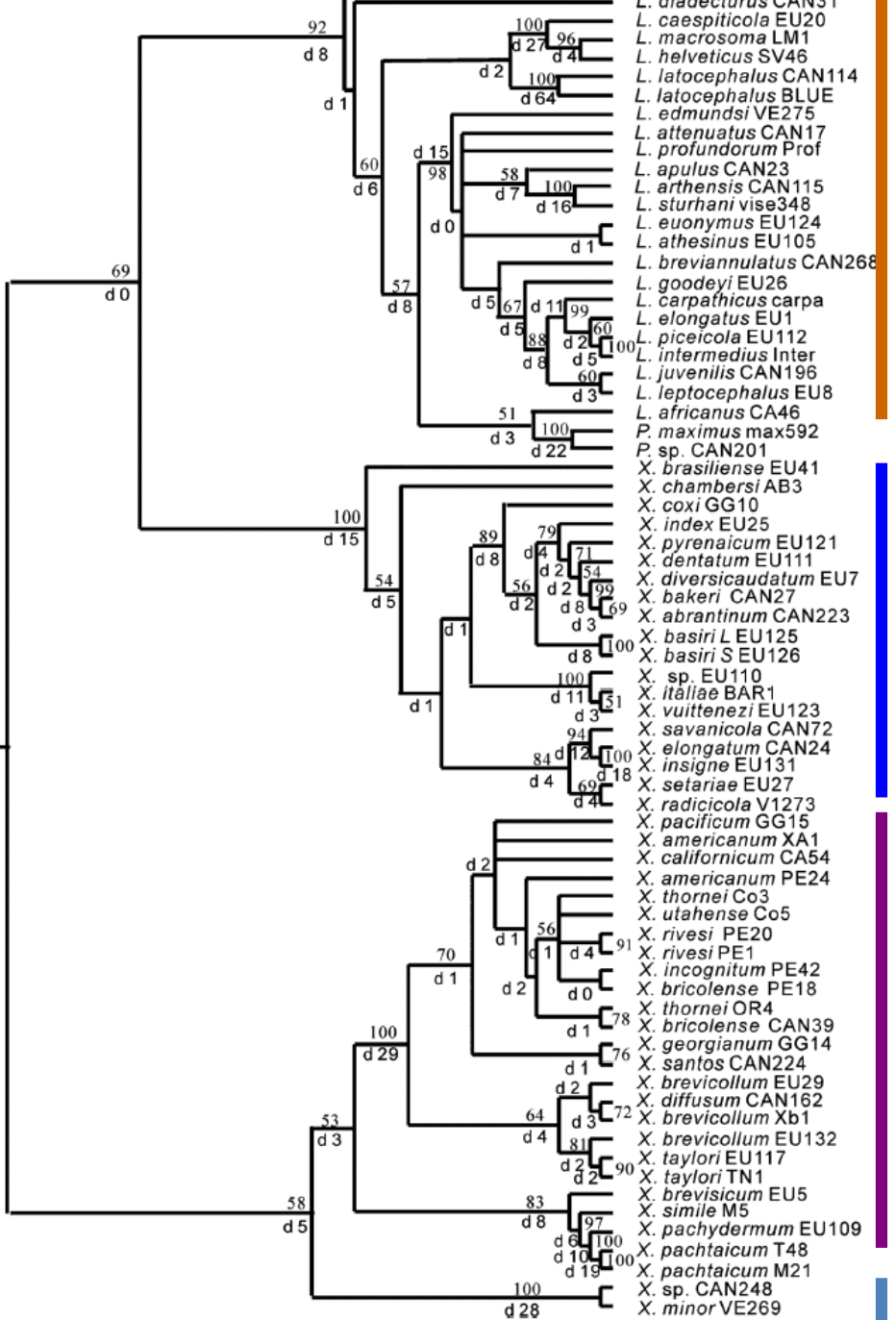


# Morfometria

Kishino Hasegawa<sup>0.1</sup> (KH)



# Filogenia da família Longidoridae baseada no LSU rRNA gene (28S)



**Longidorus species**

**Non *Xiphinema americanum* group**

**Xiphinema americanum group**

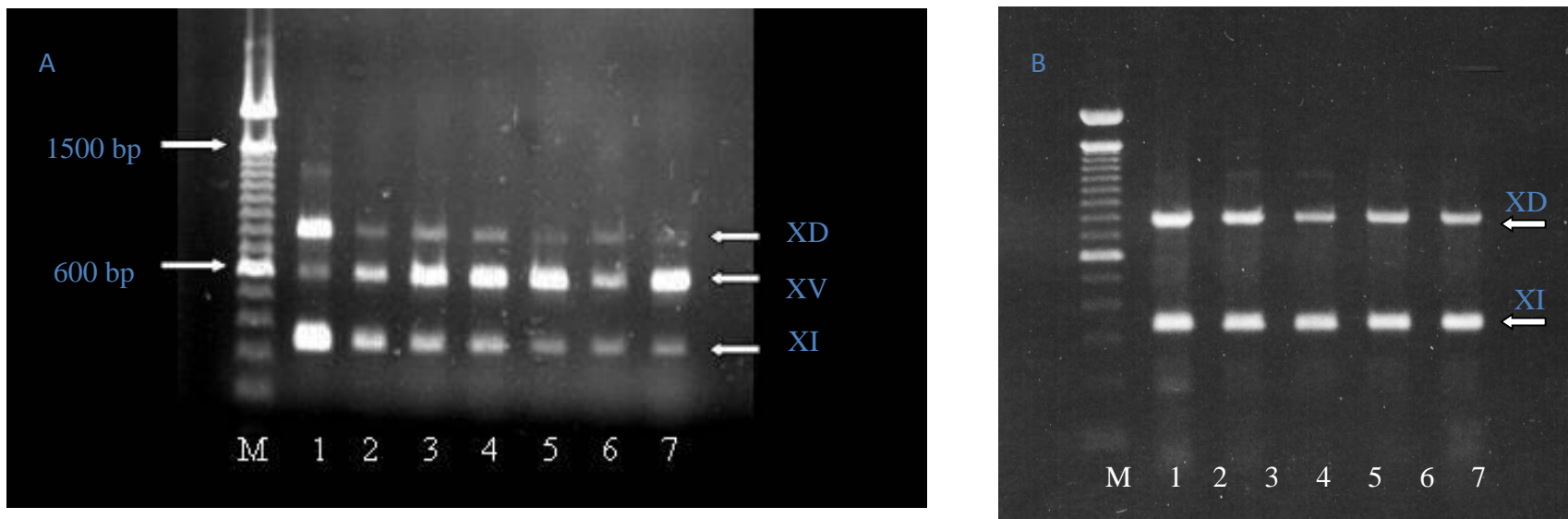
**Xiphidorus species**

Primers específicos disponíveis para diagnose de longidorídeos vetores de viroses

---

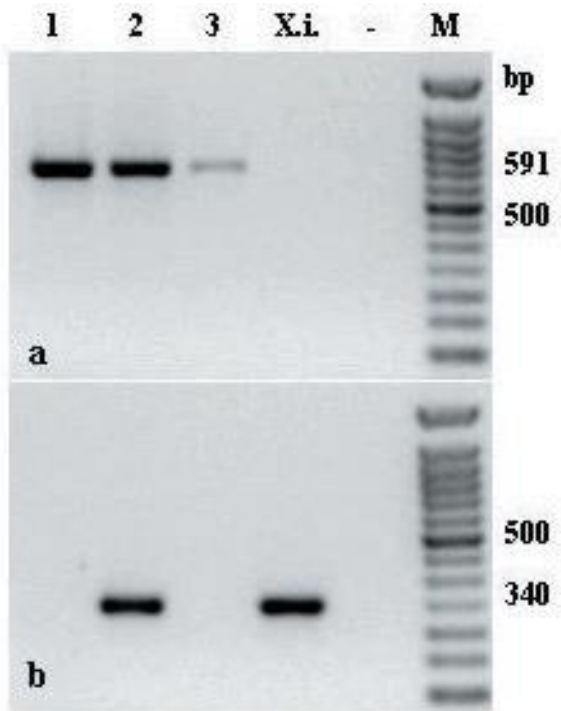
Oligo primer	Espécie de nematoide	Nº pb	Sequência do Primer (5'-3')	Referencia
<b>GenF</b>	<b>Universal</b>	<b>23</b>	TTG ATT ACG TCC CTG CCC TTT GT	<b>Hübschen et al. (2004a)</b>
<b>Latten3</b>	<b><i>Longidorus attenuatus</i></b>	<b>30</b>	TTC CCT TTT CCC TGA TTA TAA TTT TCT ATC	<b>Hübschen et al. (2004a)</b>
<b>Lelong1</b>	<b><i>Longidorus elongatus</i></b>	<b>23</b>	TTA TCG TAC GTA TTC CCA GTT CT	<b>Hübschen et al. (2004a)</b>
<b>Lmacro2</b>	<b><i>Longidorus macrosoma</i></b>	<b>21</b>	GTT CCC GAC GAT TAT TTT TGT	<b>Hübschen et al. (2004a)</b>
<b>Pmax1</b>	<b><i>Paralongidorus. maximus</i></b>	<b>22</b>	TGC ATT TCA CCA CTT CTC ACT C	<b>Hübschen et al. (2004a)</b>
<b>D24</b>	<b><i>Xiphinema diversicaudatum</i></b>	<b>24</b>	GAG ATA TAA AGC GAA AAC CGC GAG	<b>Wang et al. (2003)</b>
<b>I27</b>	<b><i>Xiphinema index</i></b>	<b>27</b>	GAG TCG TAA CGT TTC TCG TCT ATC AGG	<b>Wang et al. (2003)</b>
<b>ITA26</b>	<b><i>Xiphinema italiae</i></b>	<b>26</b>	GAA ATA AGA ACC CTG AAA AAG ATA GG	<b>Wang et al. (2003)</b>

Primers específicos para diagnose de  
*X. diversicaudatum* (XD) ; *X. index* (XI) e *X. vittenezi* (XV)



Hübschen et al. (2004)

# Identification of *Xiphinema index* in an Austrian vineyard



Molecular analysis of nematode populations (1-3) from the rhizosphere of three GFLV-infected grapevines using species specific primers for a) *X. vuittenezi* and b) *X. index*. *X. index* was identified in a mixture with *X. vuittenezi* in sample No. 2. X.i. = *X. index*, - = negative control, M = molecular size marker, bp = basepairs.

# Caracteres usados para diferenciar os gêneros da família Trichodoridae

---

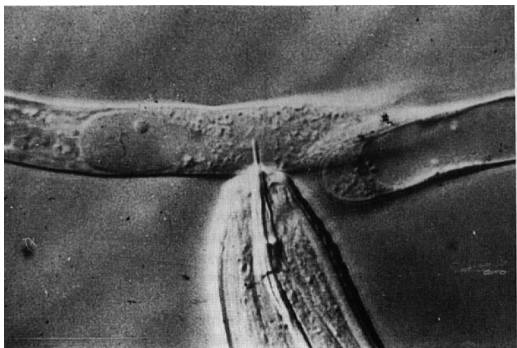
<b>característica</b>	<b>gênero</b>			
	<i>Trichodorus</i>	<i>Paratrichodorus</i>	<i>Monotrichodorus</i>	<i>Allotrichodorus</i>
<b>fêmeas</b>	didelfas	didelfas	monodelfas	monodelfas
<b>poros laterais advulvares</b>	presente	raro	presente (1 par)	ausente
<b>cutícula após fixação</b>	normal	expandida	normal	normal/expandida
<b>machos</b>				
<b>bursa</b>	ausente	presente	ausente	presente
<b>espículos</b>	curvo	reto	curvo	longo

## Morfologia das fêmeas após fixação



# Identificação Molecular de duas espécies de *Paratrichodorus*

- E. Riga, E. Karanastasi, C. M. G. Oliveira and R. Neilson (2007). Molecular Identification of Two Stubby Root Nematode Species. Amer J. of Potato Res 84:161-167.
- *Paratrichodorus allius* and *P. teres* são similares morfologicamente
- Danos diretos
  - ex.: trigo e milho
  - Transmissão de viroses (*Tobacco rattle virus*, Tobravirose)
    - Ex.: batata
- Desenvolvimento de primers específicos



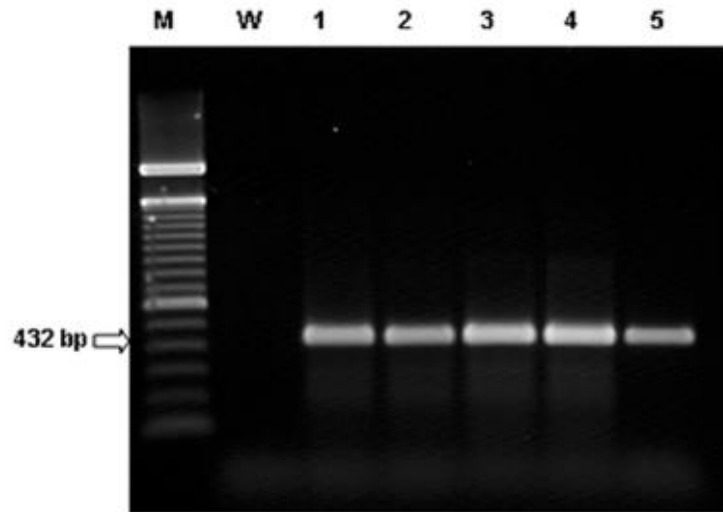
---

## Populações utilizadas para determinar a especificidade e confiabilidade dos primers específicos PAR2 (*P. allius*) e PTR4 (*P. teres*)

---

Nematode species and GenBank Accession numbers	Plant Hosts	Locality
<i>P. allius</i> (Pa 1-4)	<i>Solanum tuberosum</i>	Columbia Basin, WA, USA
<i>P. allius</i> (Pa NE)	<i>Solanum tuberosum</i>	Columbia Basin, WA, USA
<i>P. allius</i> (Pa al)	<i>Medicago sativa</i>	Columbia Basin, WA, USA
<i>P. allius</i> (Pa kp)	<i>Solanum tuberosum</i>	Columbia Basin, WA, USA
<i>P. allius</i> (Pa m)	<i>Mentha X piperita</i>	Columbia Basin, WA, USA
<sup>1</sup> <i>P. macrostylus</i> (AJ439508)	<i>Quercus cerris</i>	Kralovsky Chlmeč, Slovakia
<i>P. minor</i> (Pm 11a)	Fallow	Amaliada, Greece
<sup>1</sup> <i>P. pachydermus</i> (AJ439513)	<i>Solanum tuberosum</i>	Carnoustie, Scotland
<i>P. teres</i> (Pt 6a)	<i>Cynara scolymus</i>	Candia, Argolis, Greece
<i>P. teres</i> (Pt 7a)	<i>Cynara scolymus</i>	Candia, Argolis, Greece
<i>P. teres</i> (Pt cb)	Potato Field	Columbia Basin, WA, USA
<sup>1</sup> <i>T. primitivus</i> (AJ439518)	Pasture	Kinshaldy, Scotland
<sup>1</sup> <i>T. similis</i> (AJ439523)	<i>Solanum tuberosum</i>	Tentsmuir, Scotland
<i>Paratylenchus</i> spp.	Potato field	Columbia Basin, WA, USA
<i>Tylenchorhynchus</i> spp.	Potato field	Columbia Basin, WA, USA
<i>Criconemella</i> spp.	Potato field	Columbia Basin, WA, USA
<i>Meloidogyne hapla</i>	Potato field	Columbia Basin, WA, USA
<i>Meloidogyne chitwoodi</i>	Potato field	Columbia Basin, WA, USA
<i>Ditylenchus dipsaci</i>	Alfalfa field	Columbia Basin, WA, USA
<i>Caenorhabditis elegans</i>	Laboratory culture	Cold Spring Harbor, USA

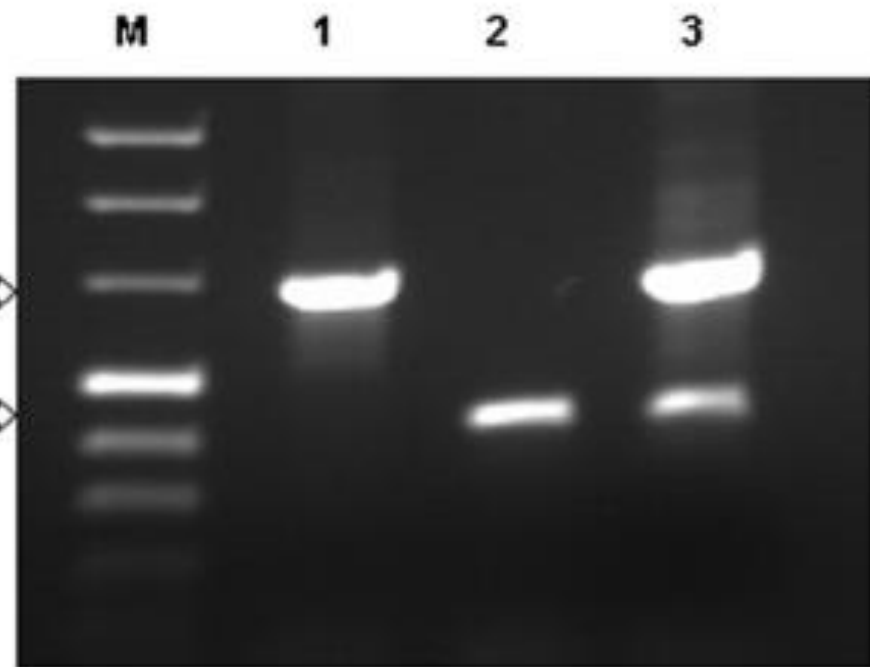
<sup>1</sup>Data from Boutsika 2002.



Confiabilidade do primer PAR2 (*Paratrichodorus allius*)

PTR4 (*P. teres*)      **677 bp**

PAR2 (*P. allius*)      **432 bp**



Uso em multiplex dos primers PAR2 (*P. allius*) e PTR4 (*P. teres*)

# Controle

---

- Nematicidas
  - Fumigantes
  - Não fumigantes
- Rotação de culturas
  - Polífagos
  - GFLV/*X. index*: uva
- Cultivares resistentes
  - *Vitis rotundifolia* não foi infectada por GFLV
  - *Vitis candicans* cv. Dog Ridge resistência a *X. index*
  - Batata Bintje: imune a TRV

## Legislação

Plantas livres de vírus e nematoídeos  
Serviço quarentenário



Raspberry Ringspot Virus on Raspberry  
Vetor = *Longidorus* sp.

---



Sem tratamento



Controle: brometo de metila

J.D. Eisenback

---

# OBRIGADO

Cláudio Marcelo G. de Oliveira  
Instituto Biológico  
CEP 13001 970, Caixa Postal 70, Campinas, SP  
[marcelo@biologico.sp.gov.br](mailto:marcelo@biologico.sp.gov.br)

